



1/28

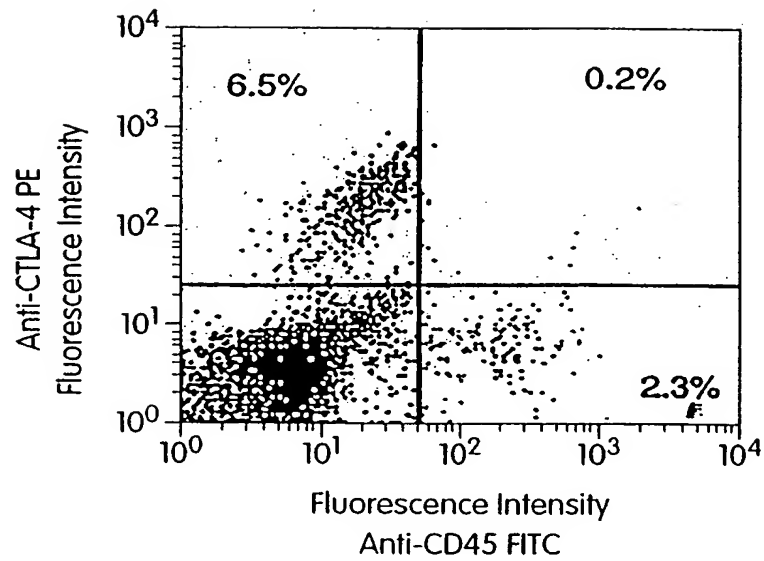


Fig. 1A

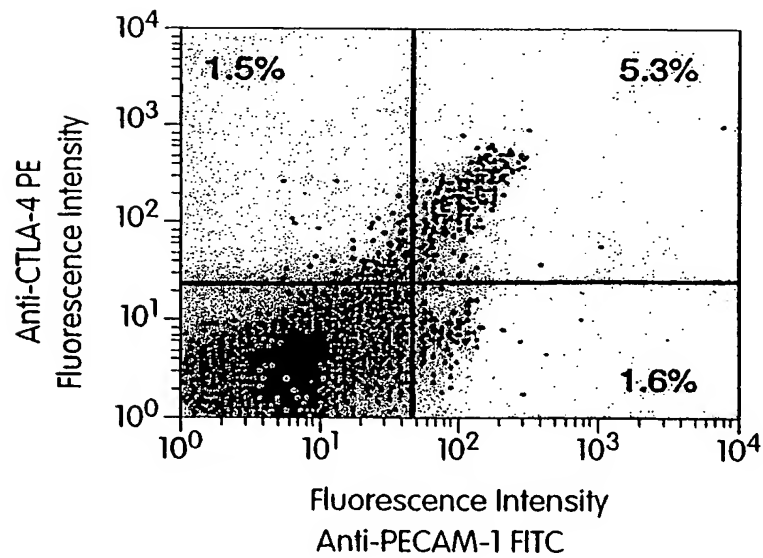


Fig. 1B



2/28

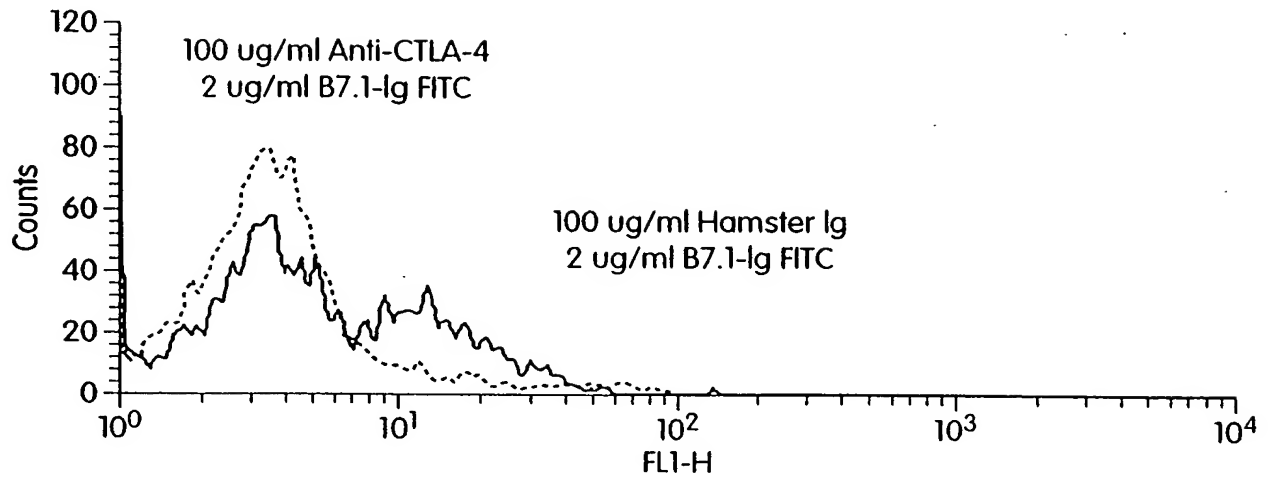


Fig. 2A

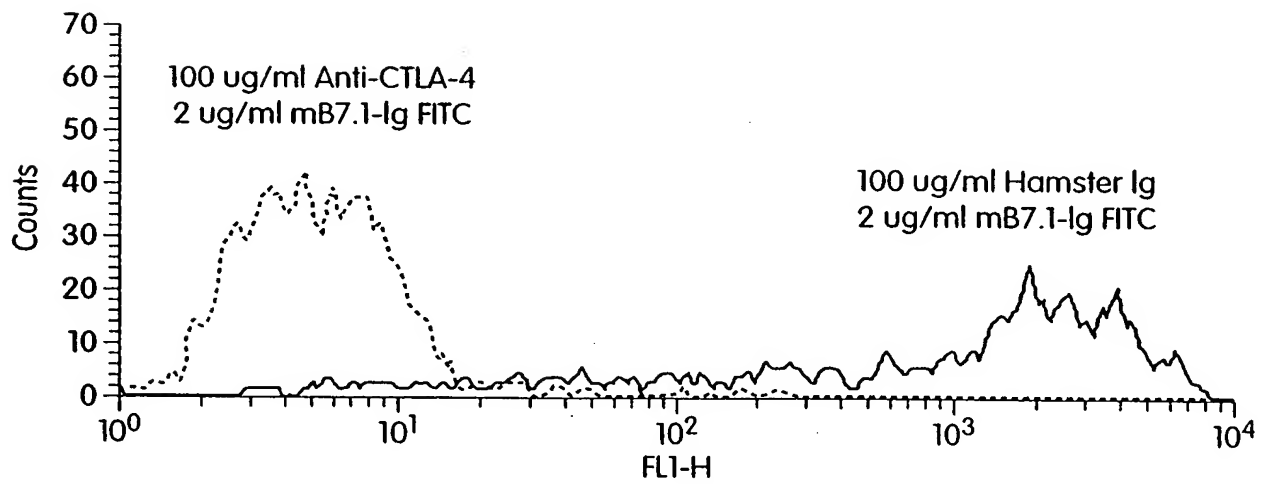


Fig. 2B

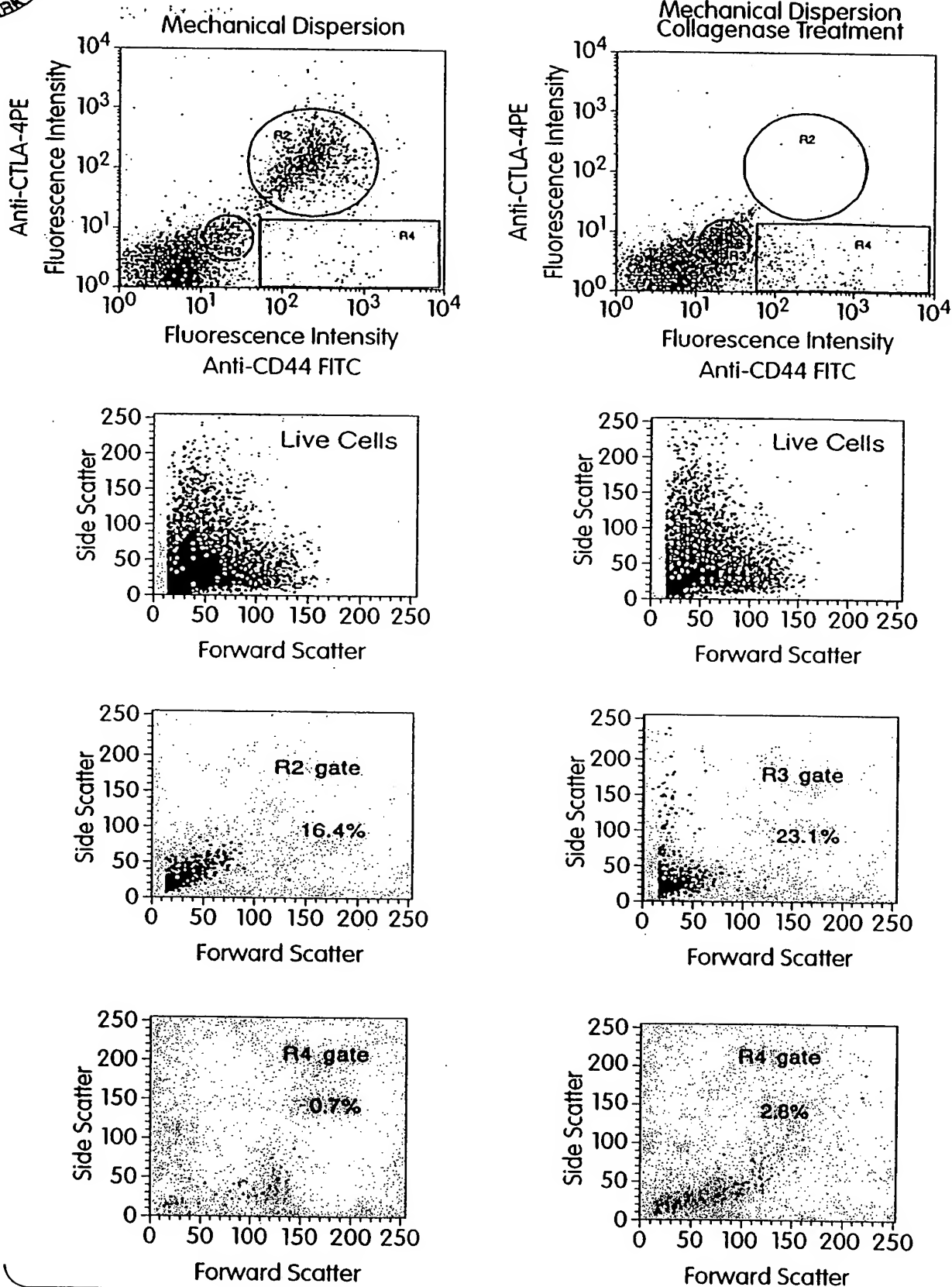


Fig. 3A



4/28

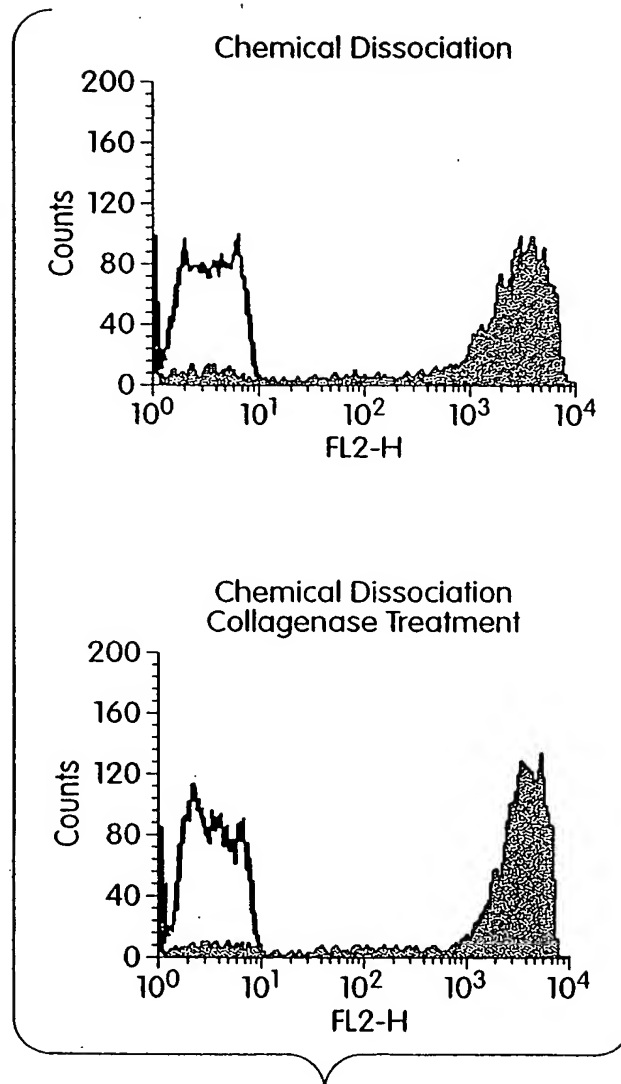


Fig. 3B



5/28

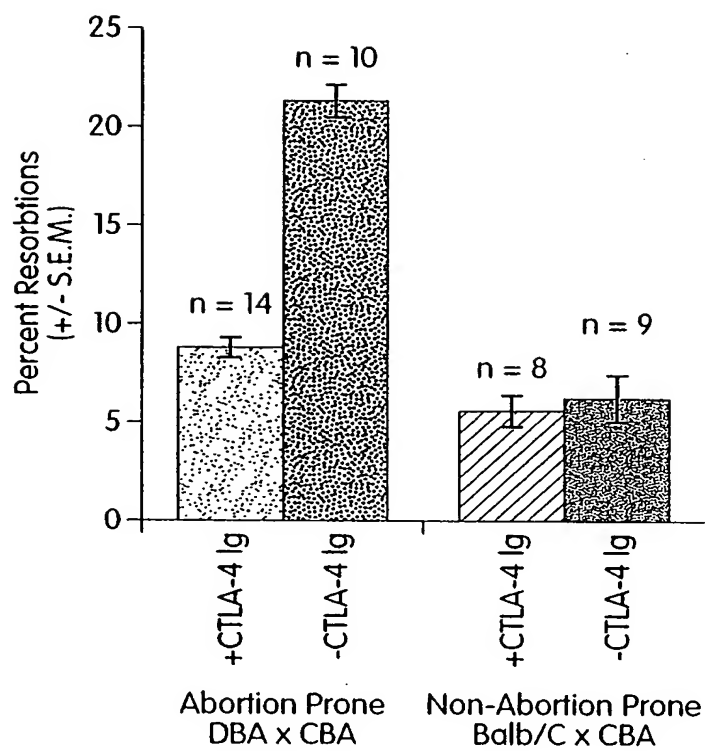


Fig. 4

6/28

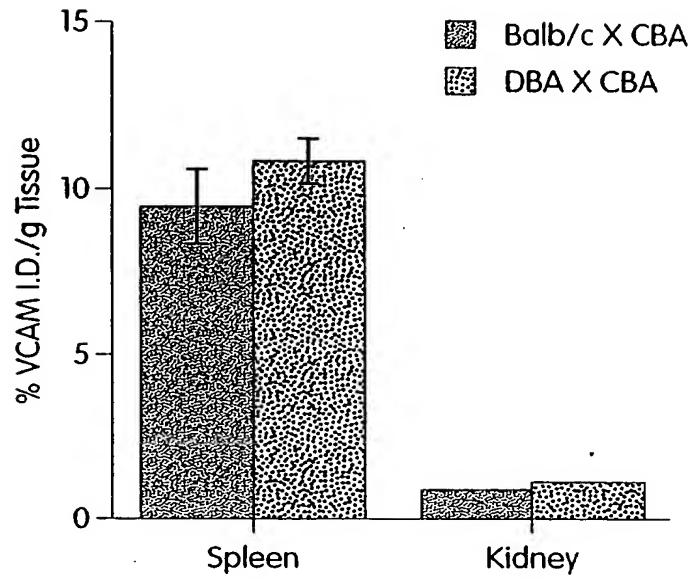


Fig. 5A

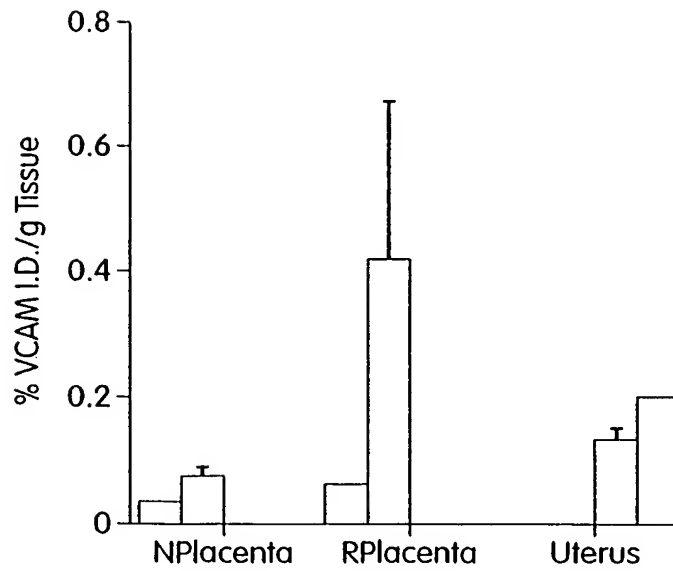


Fig. 5B

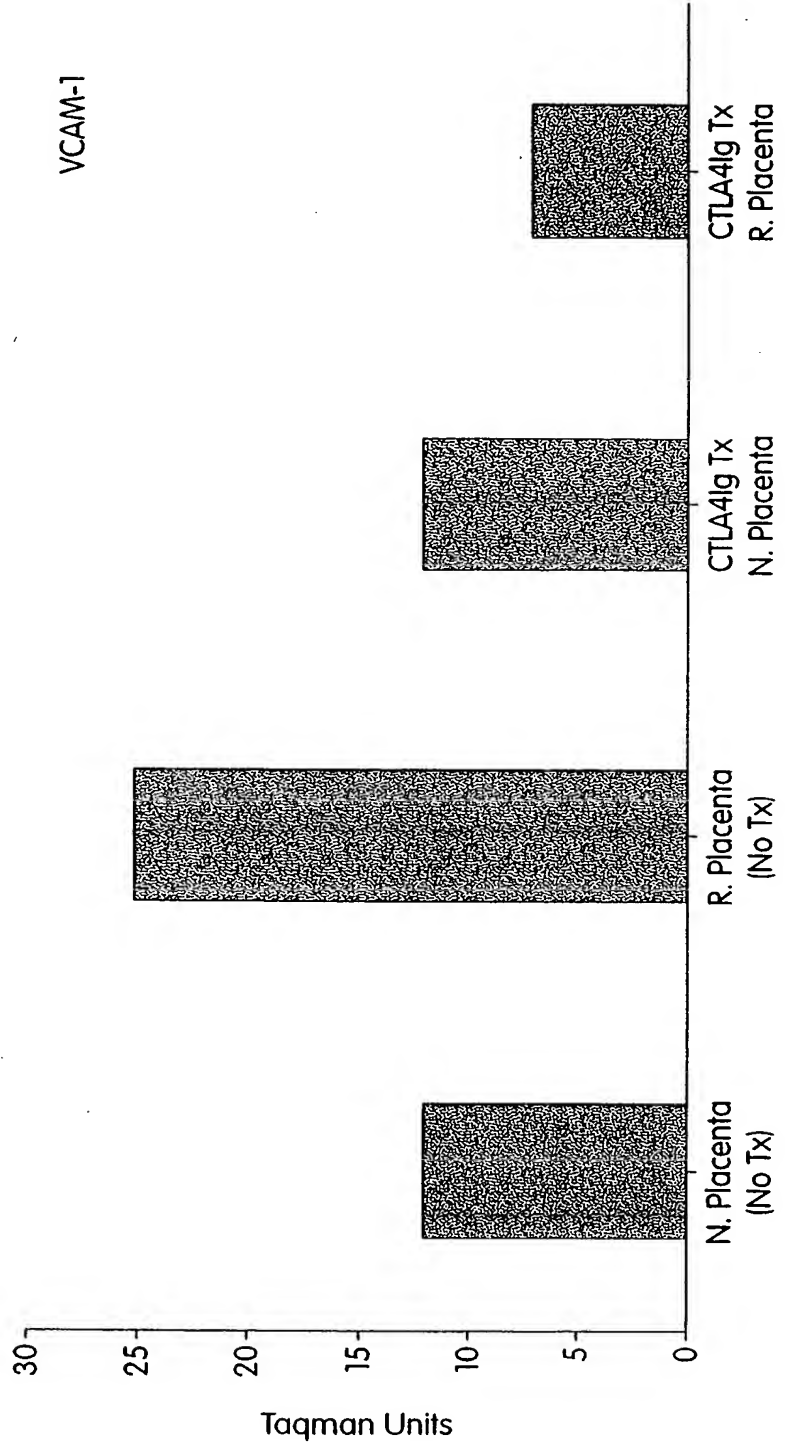


Fig. 6A

7/28

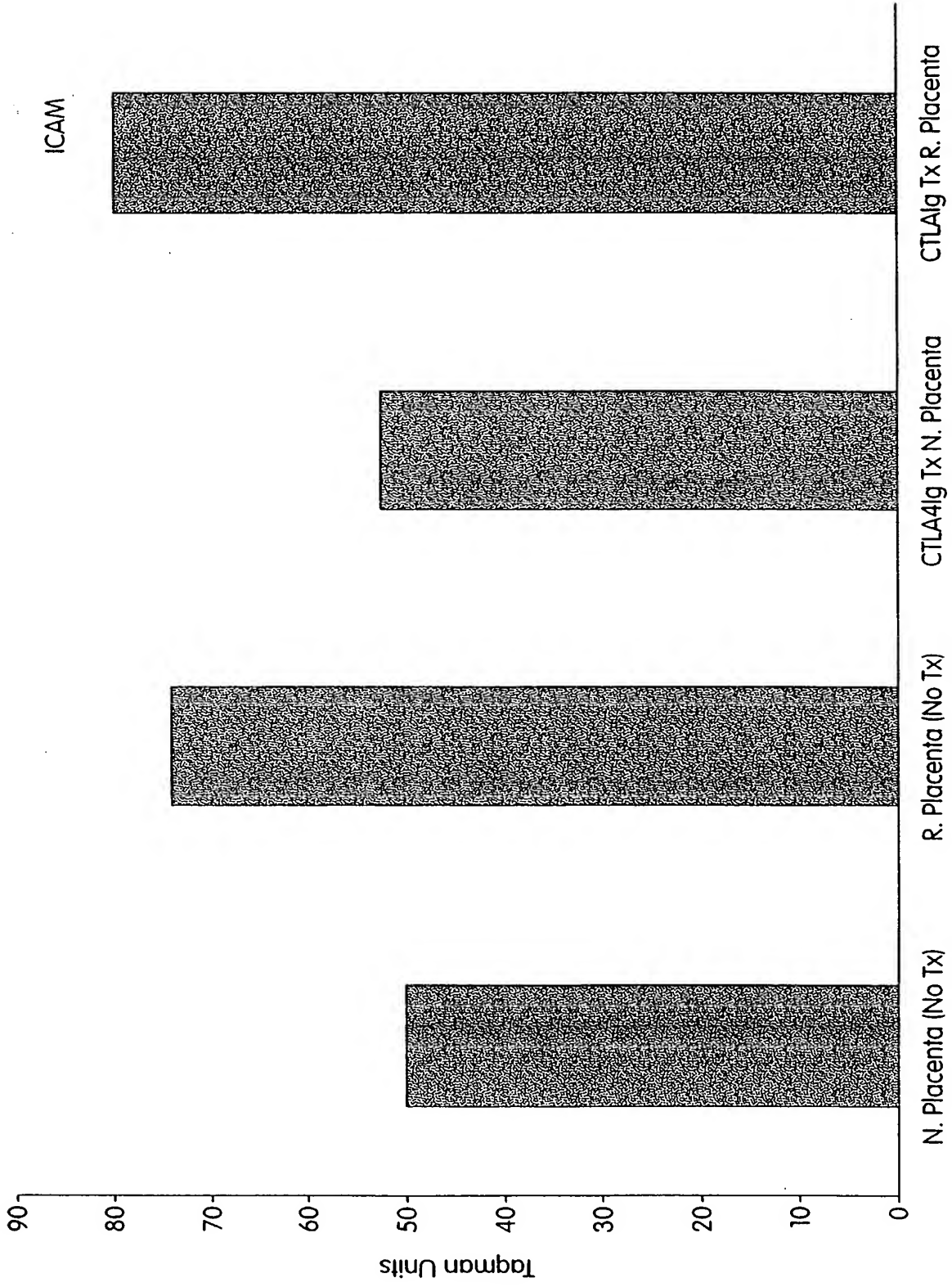


Fig. 6B



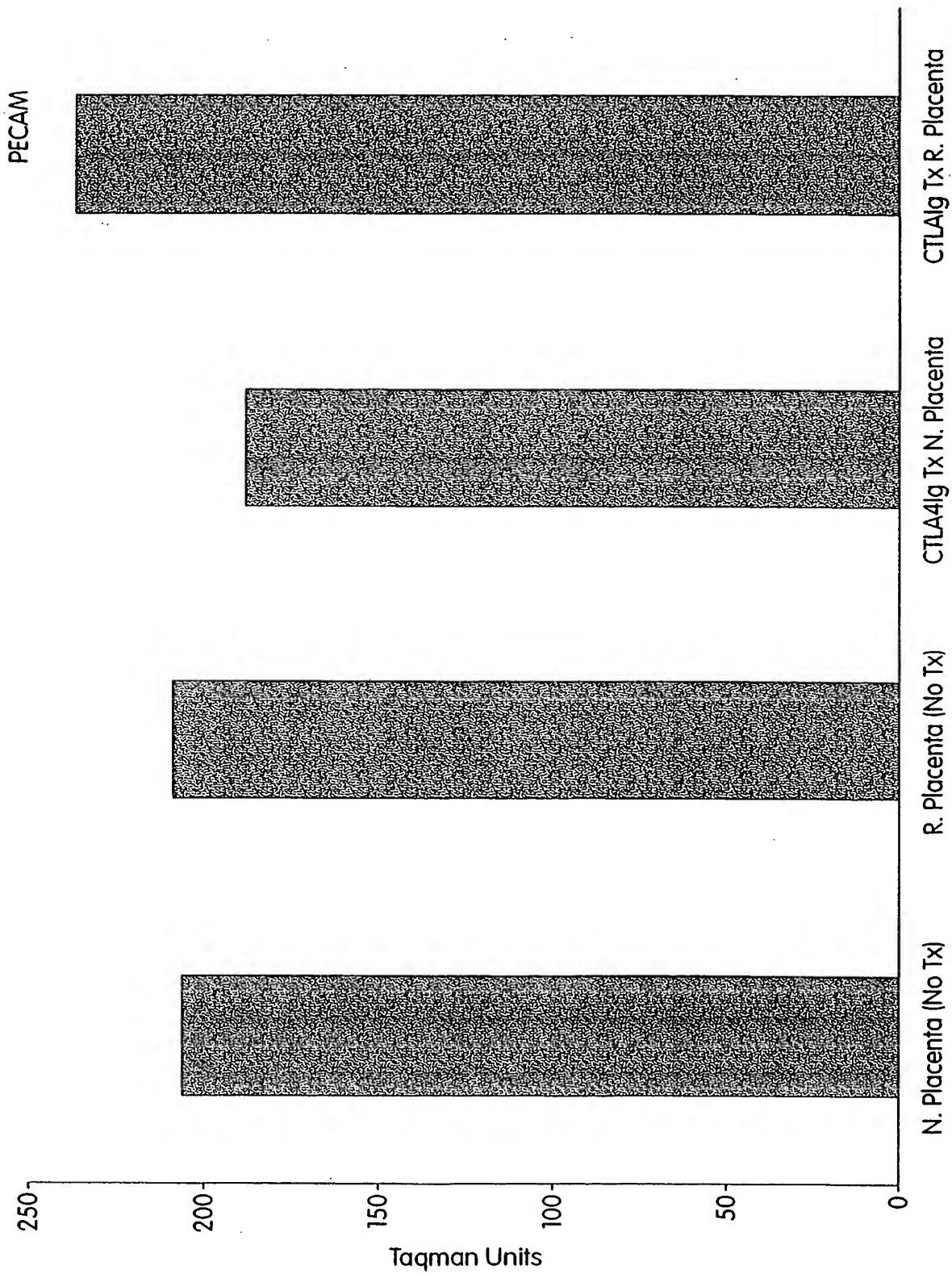


Fig. 6C

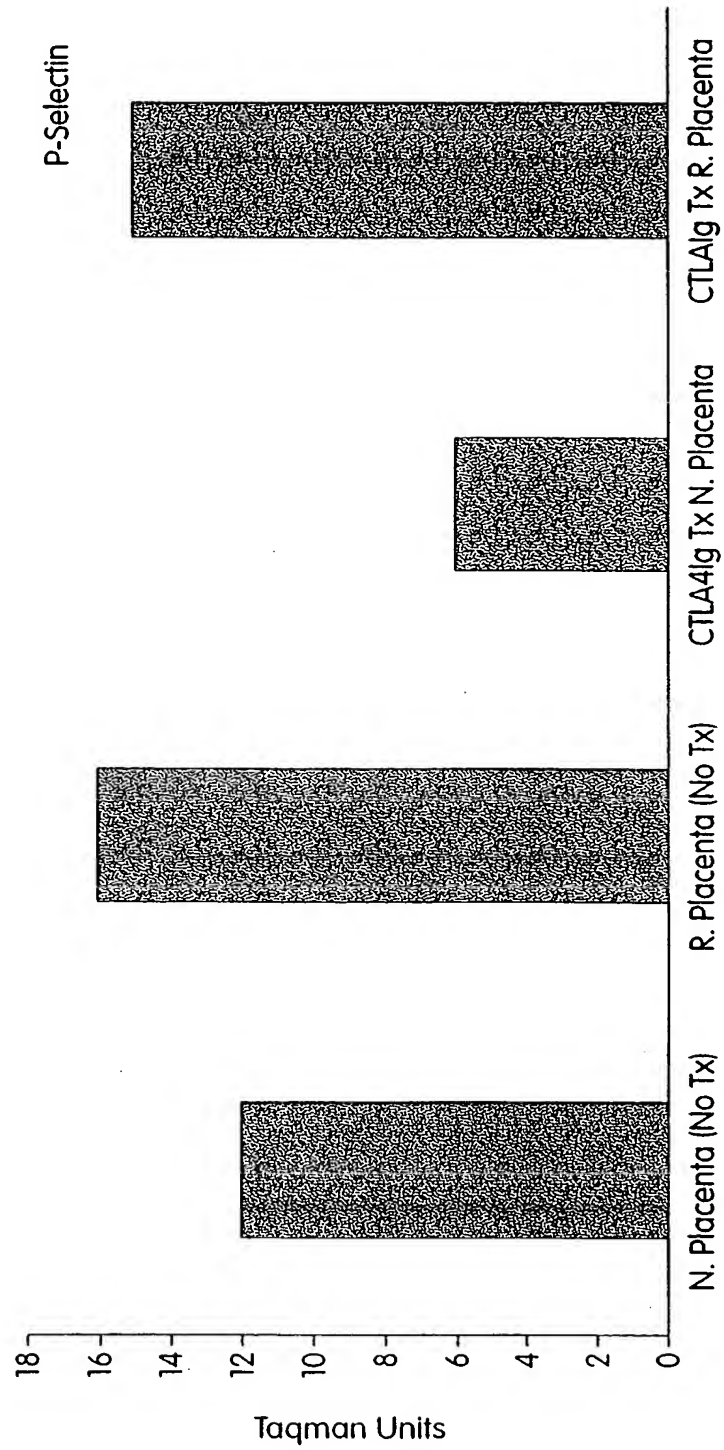
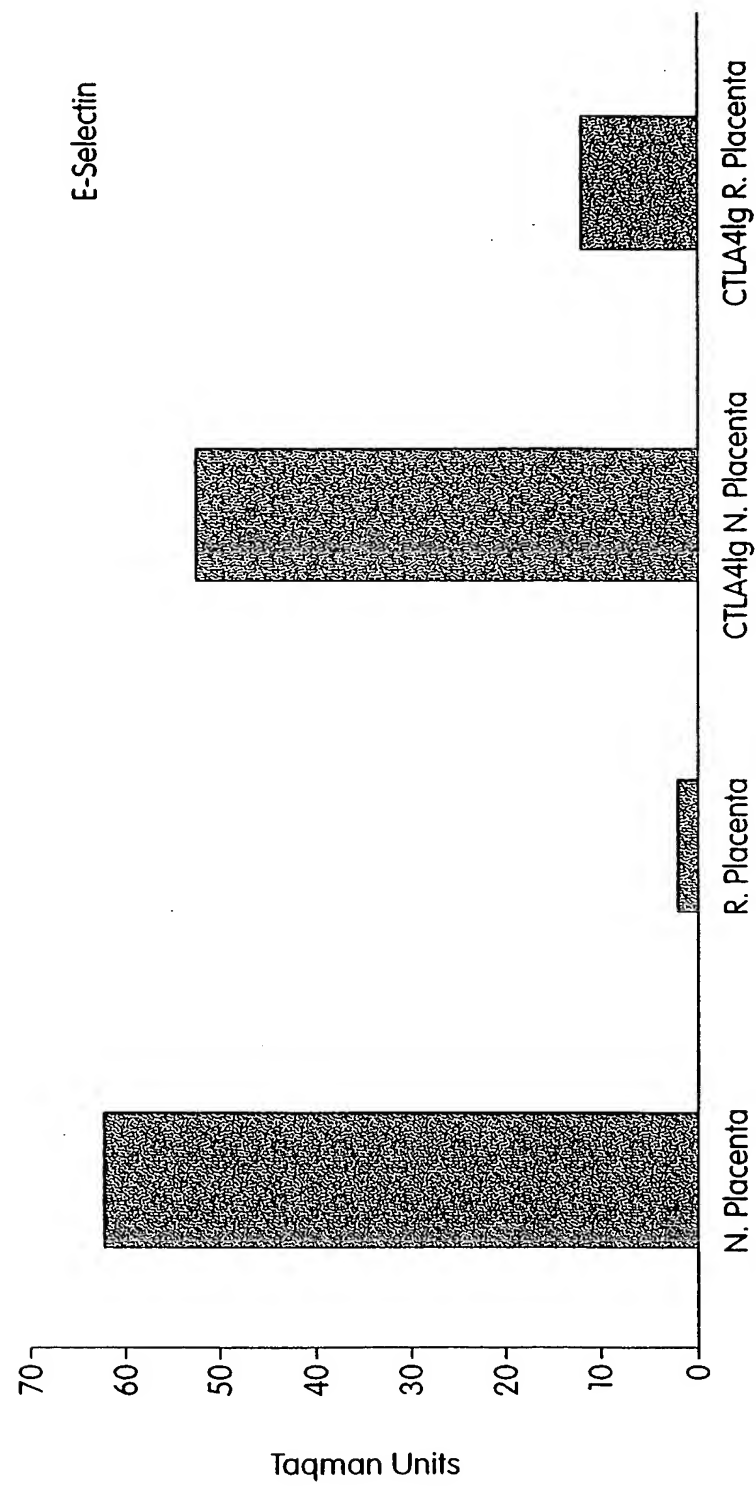


Fig. 6D



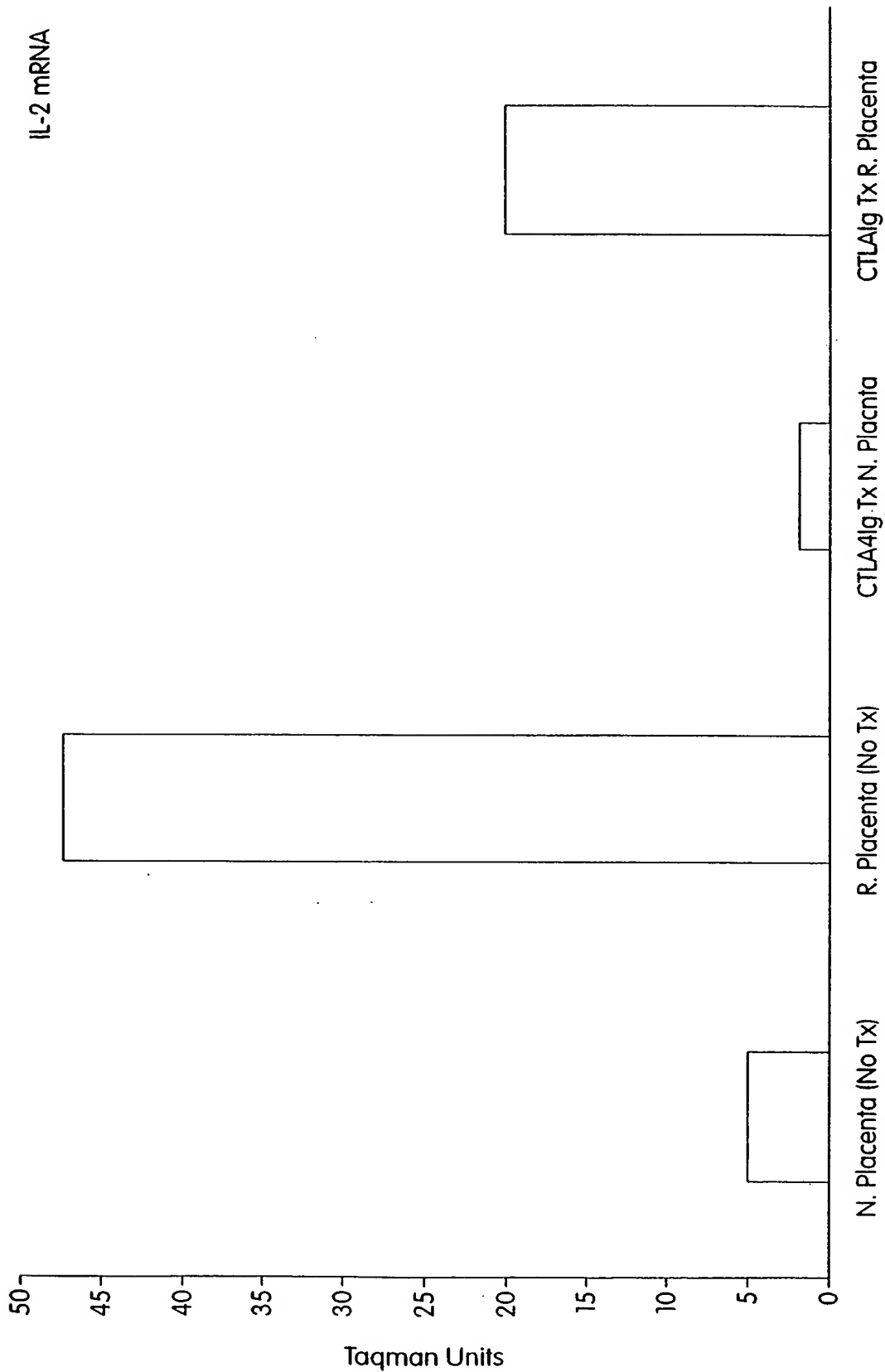


Fig. 6F

12/28

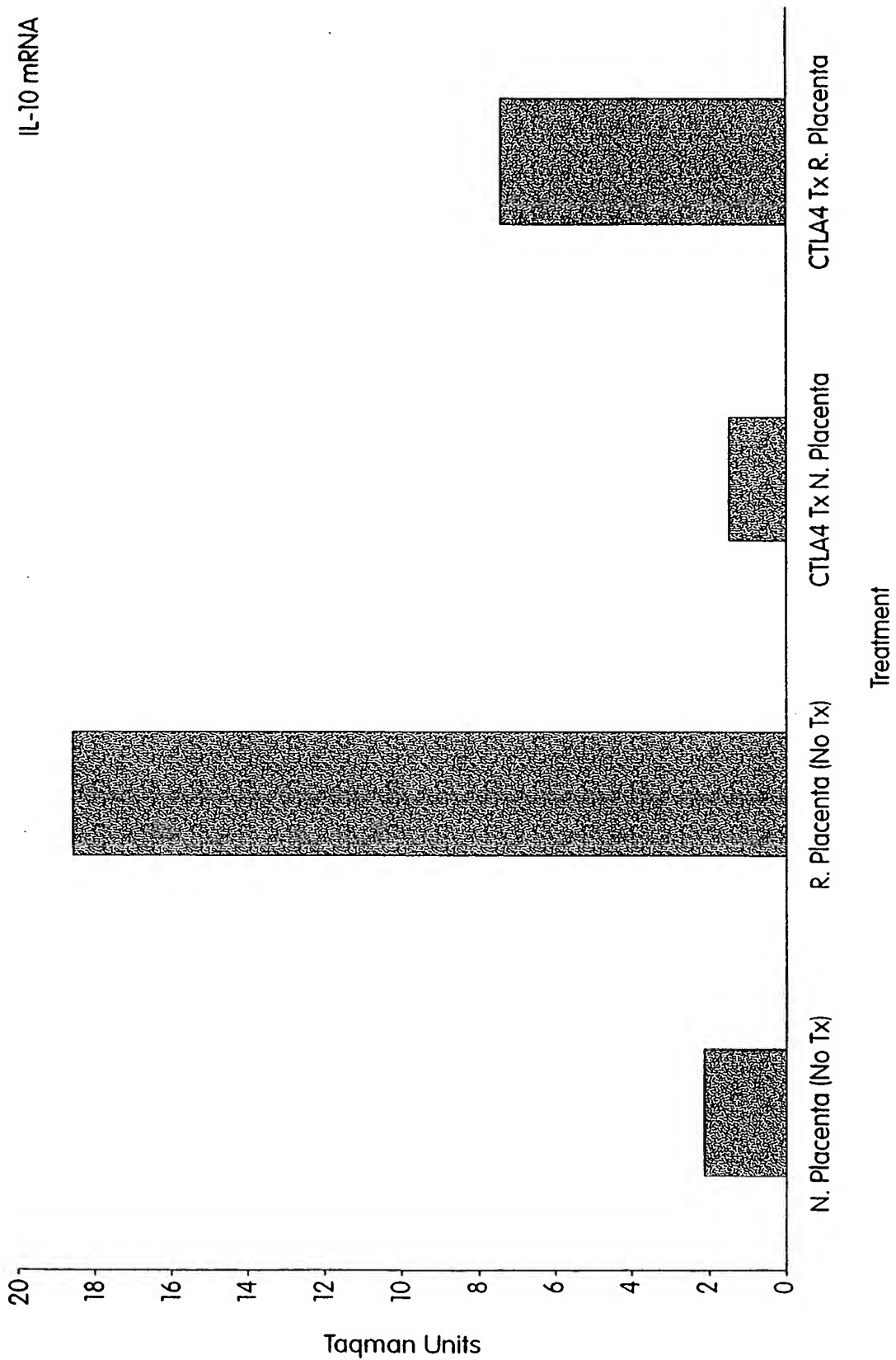


Fig. 6G

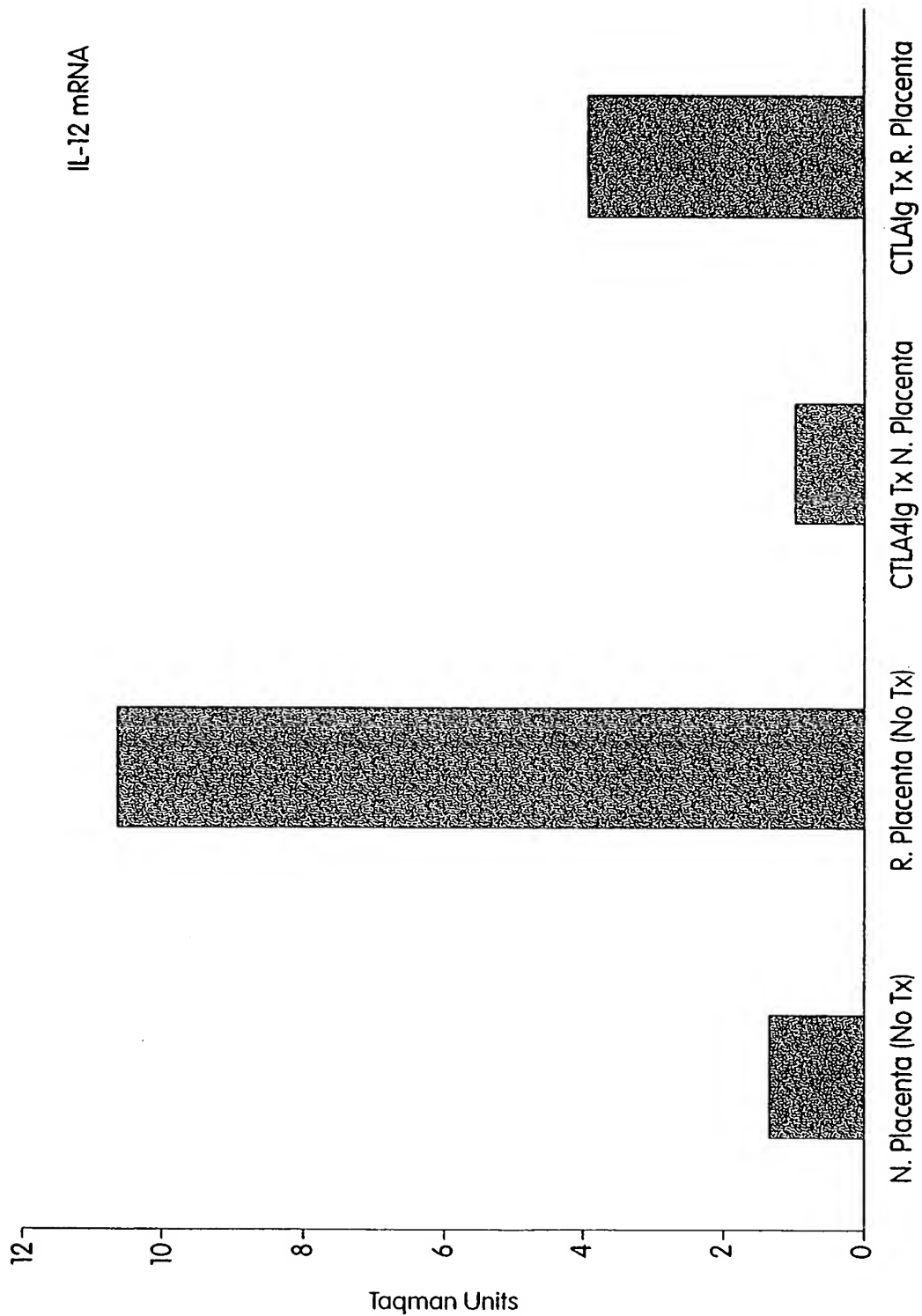


Fig. 6H

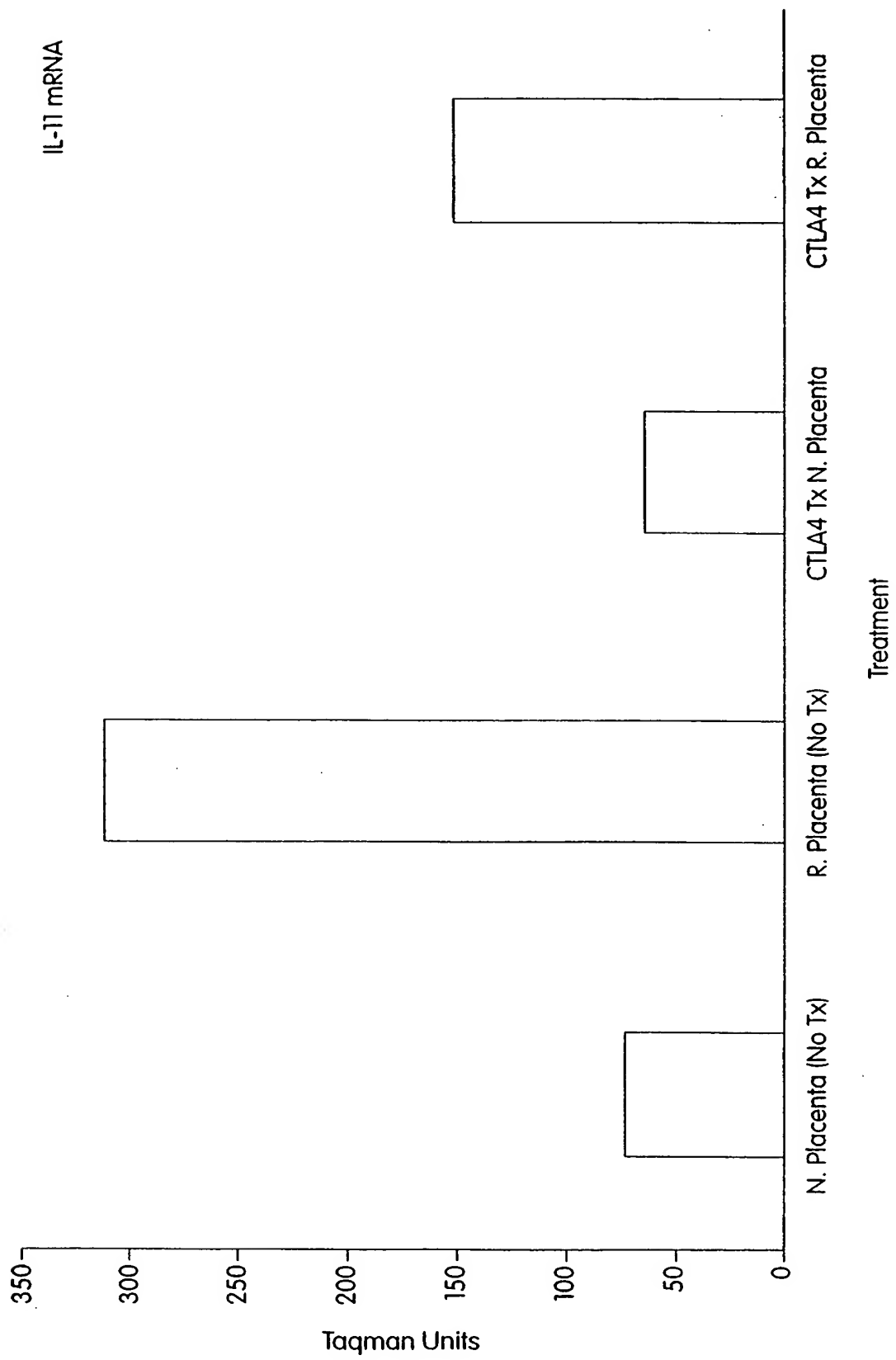


Fig. 6I

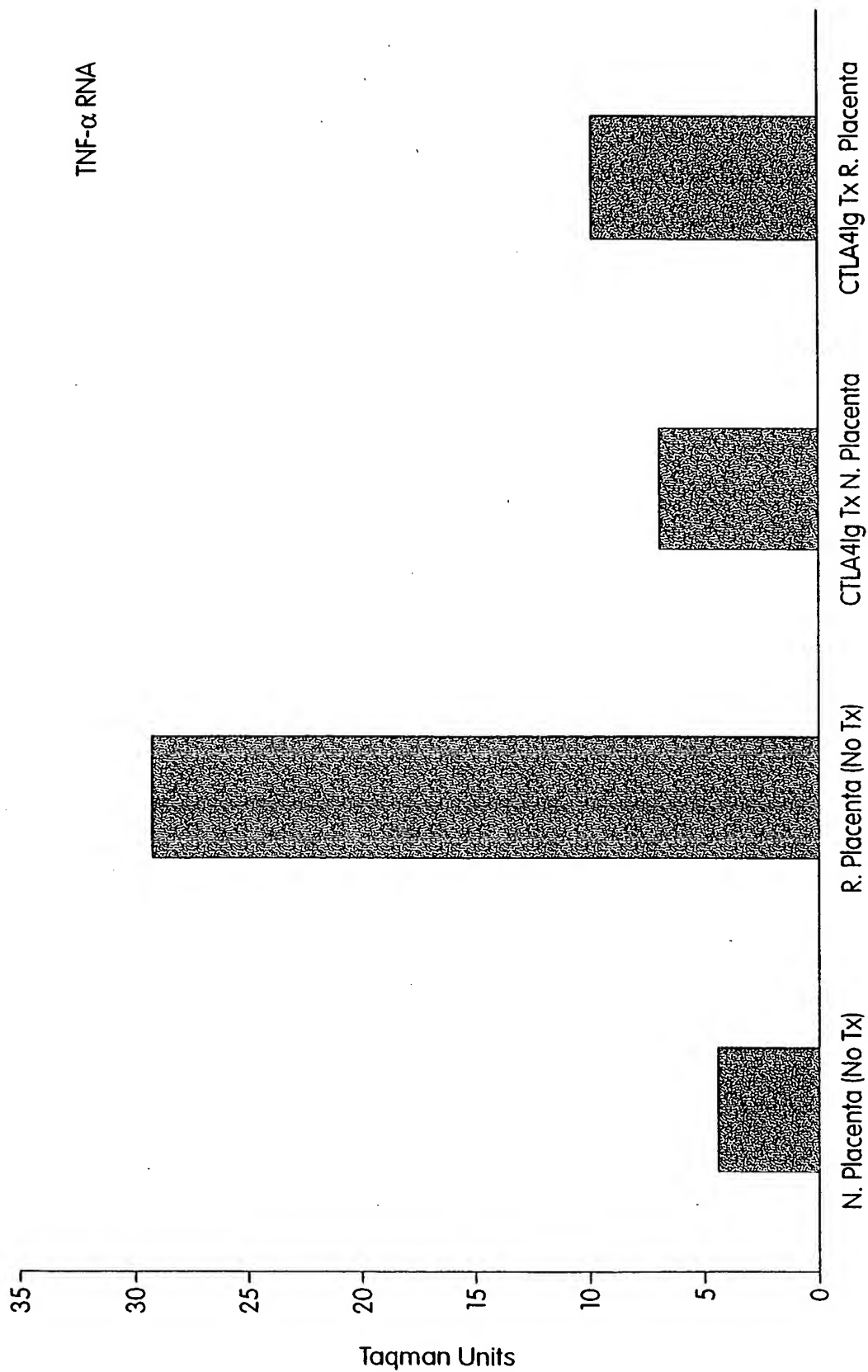


Fig. 6J



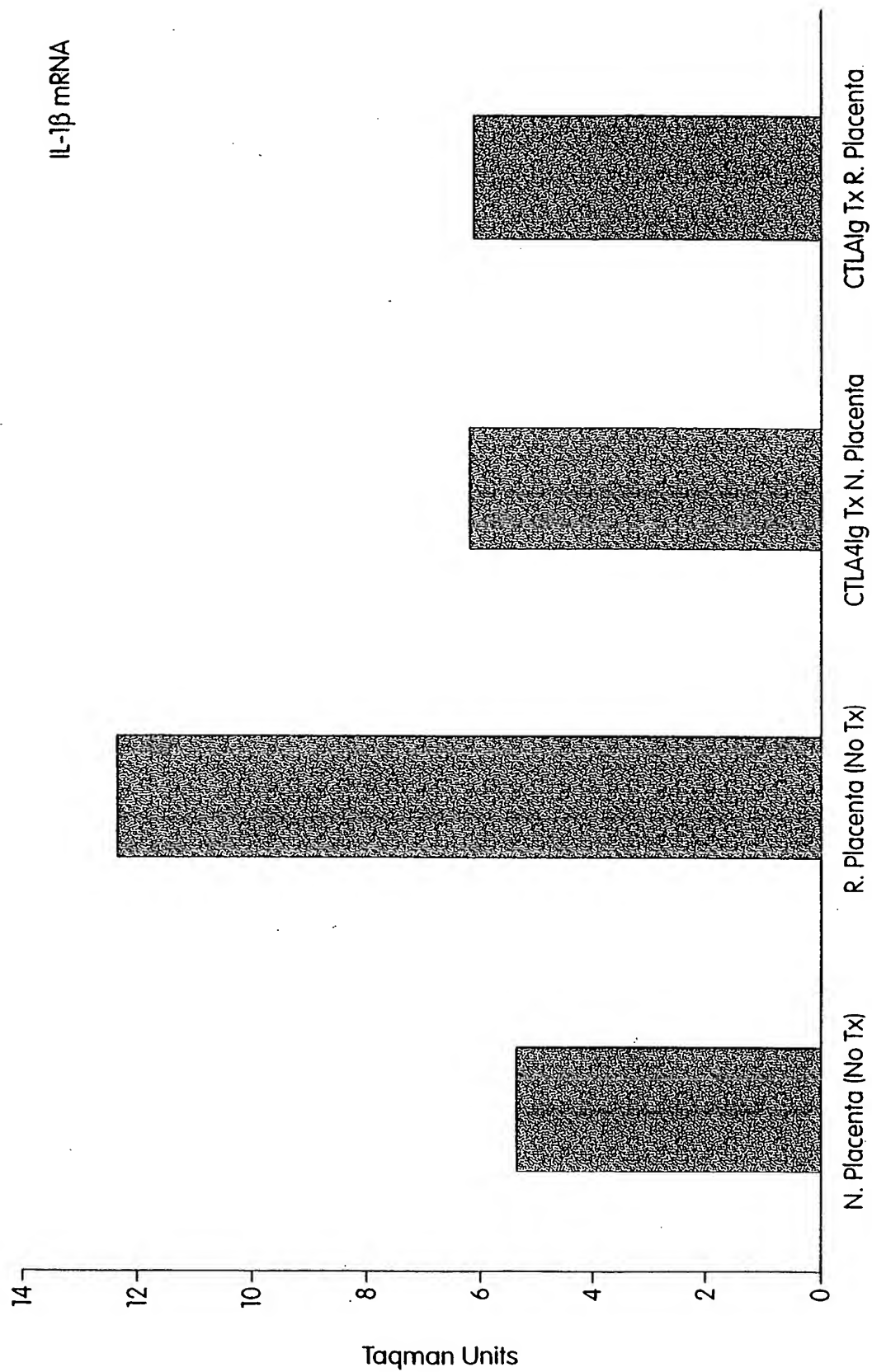


Fig. 6K

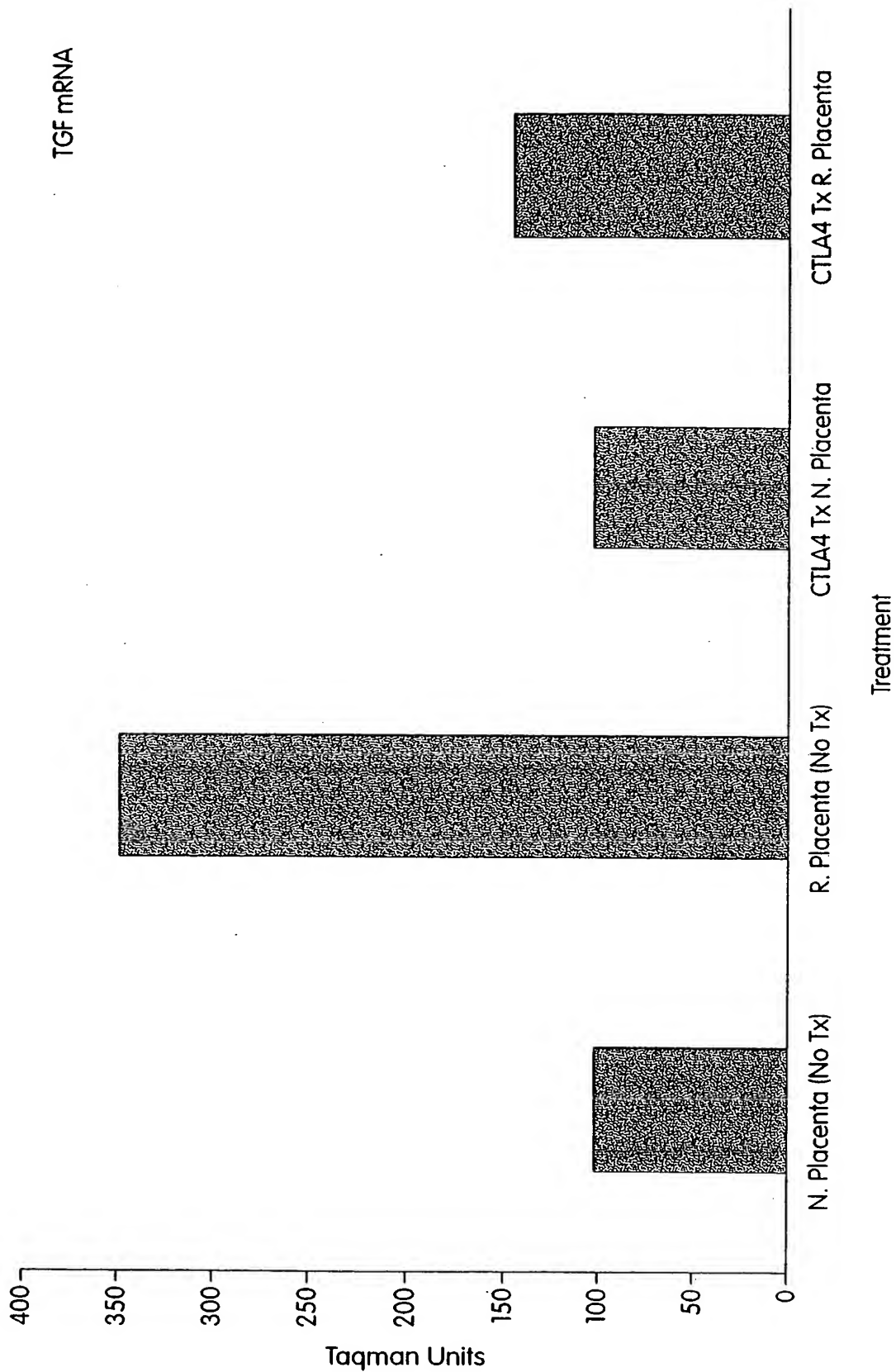


Fig. 6L

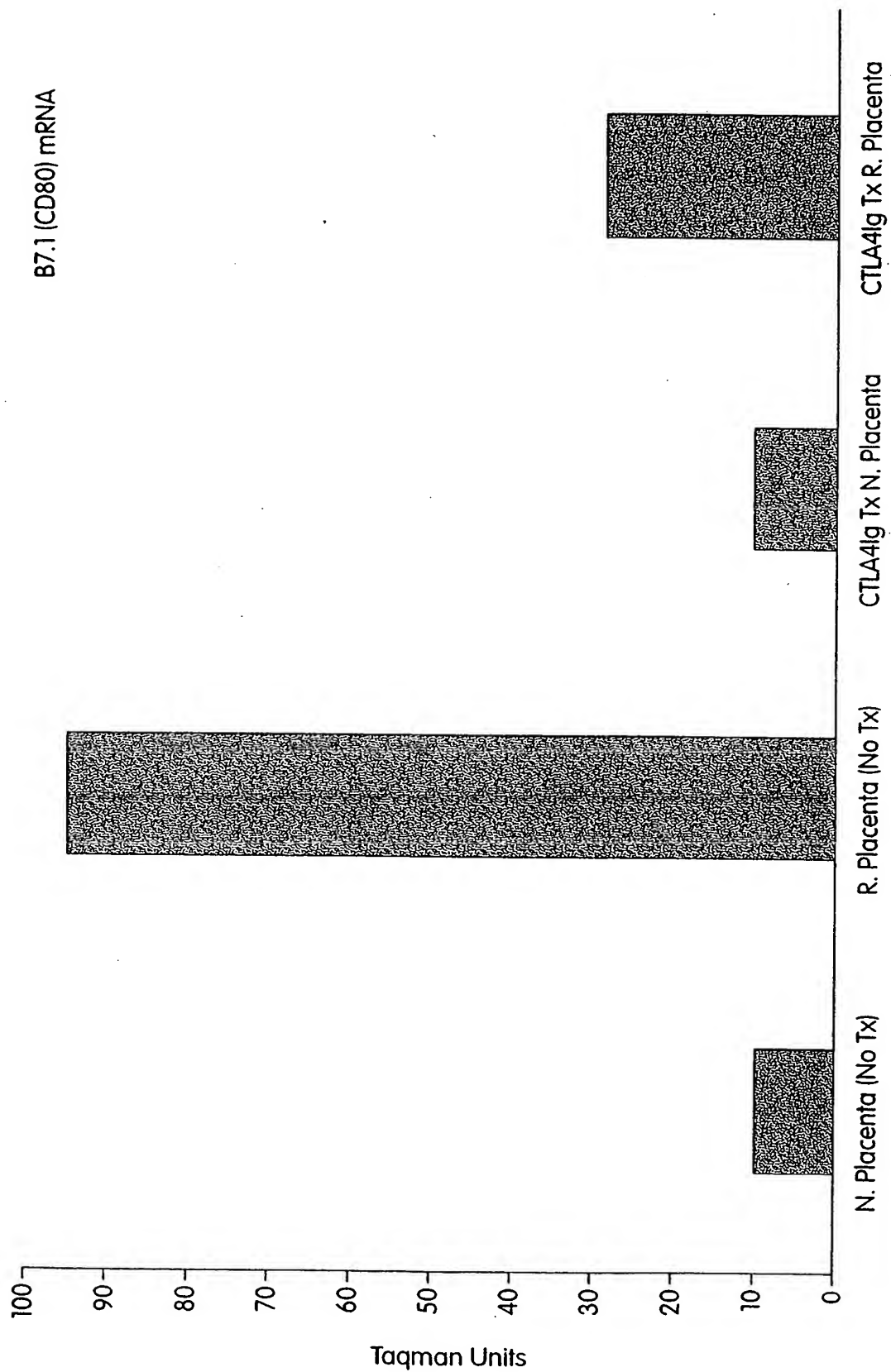


Fig. 6M

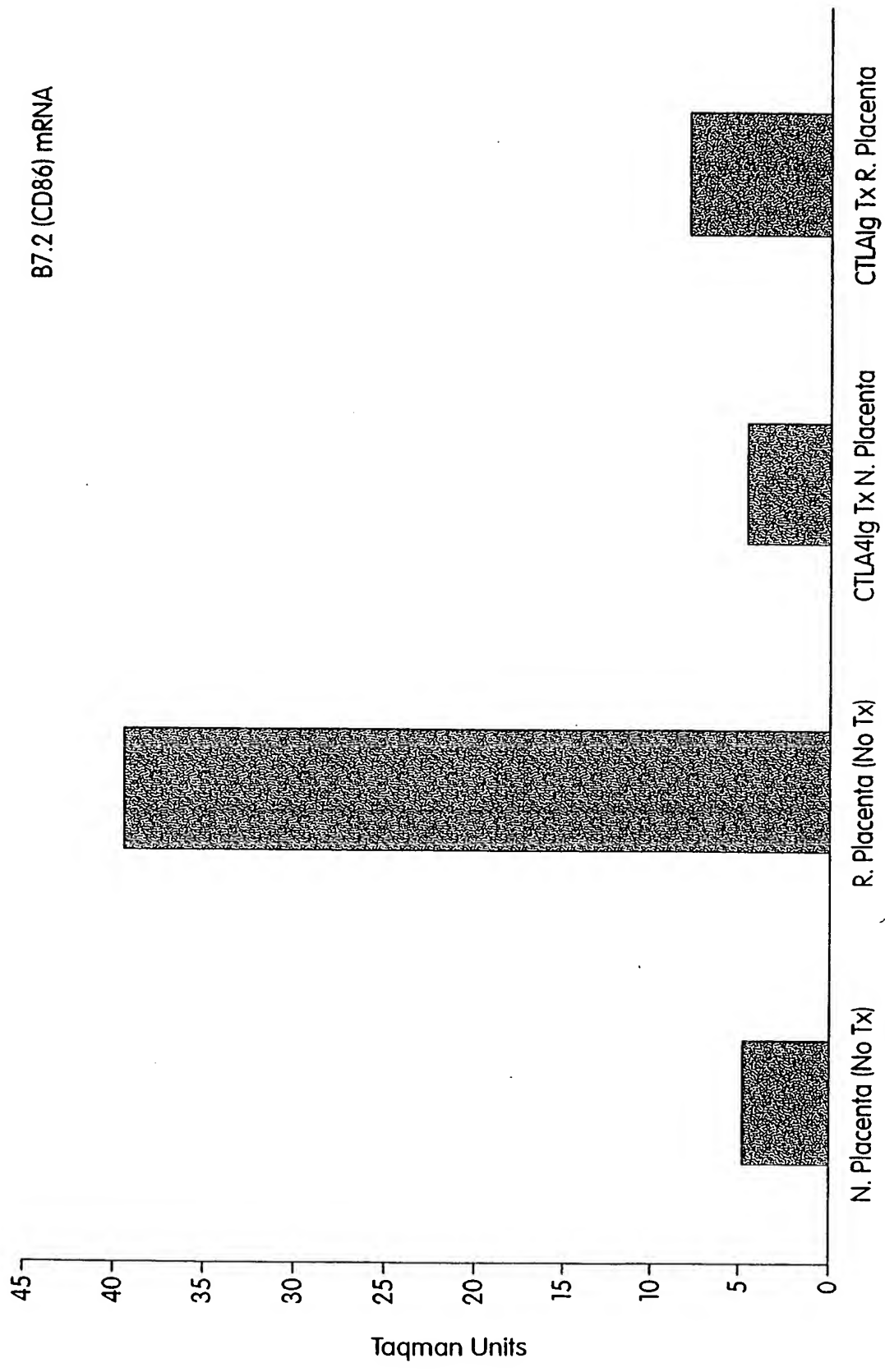


Fig. 6N

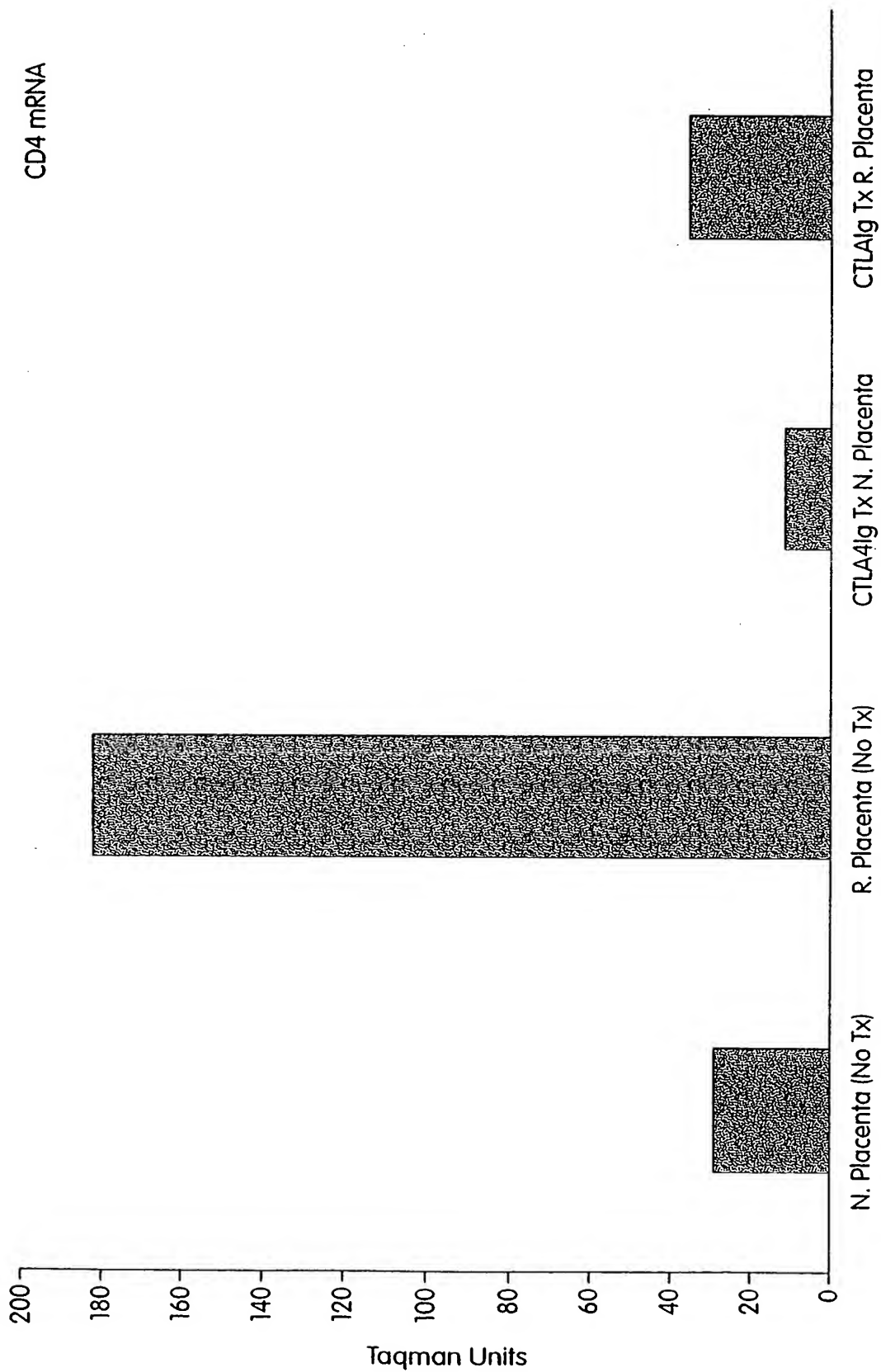


Fig. 60

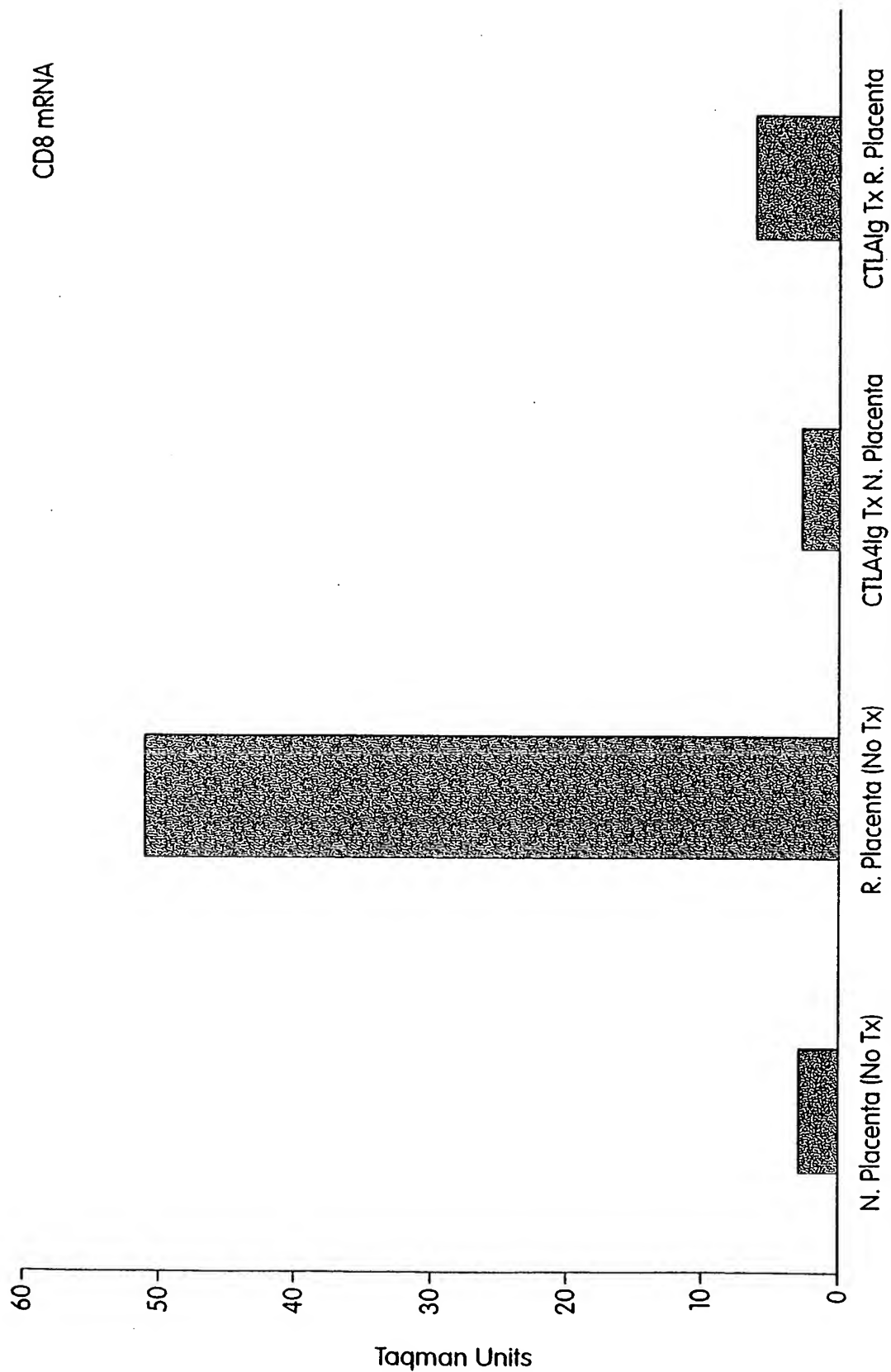


Fig. 6P

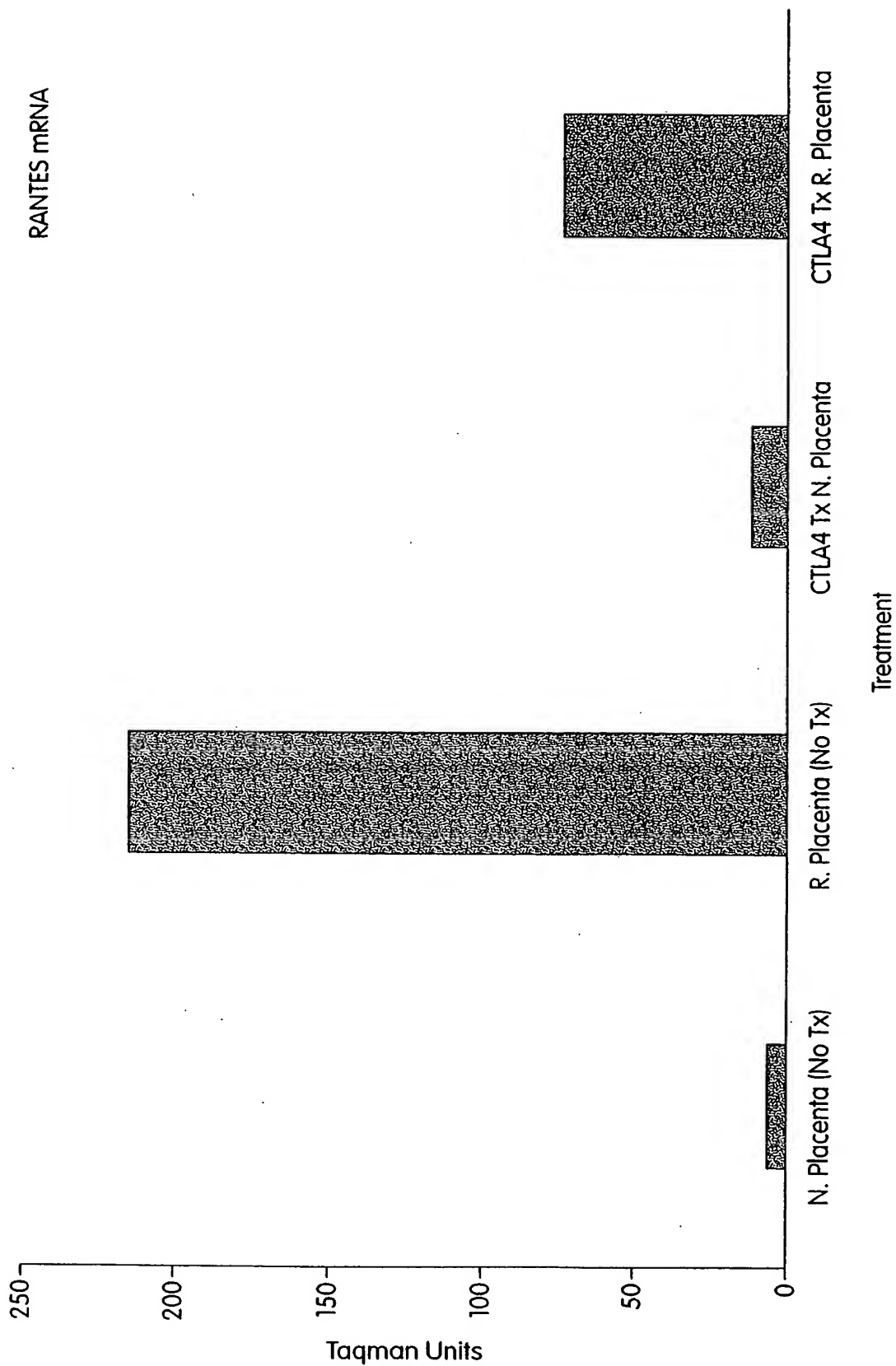


Fig. 6Q

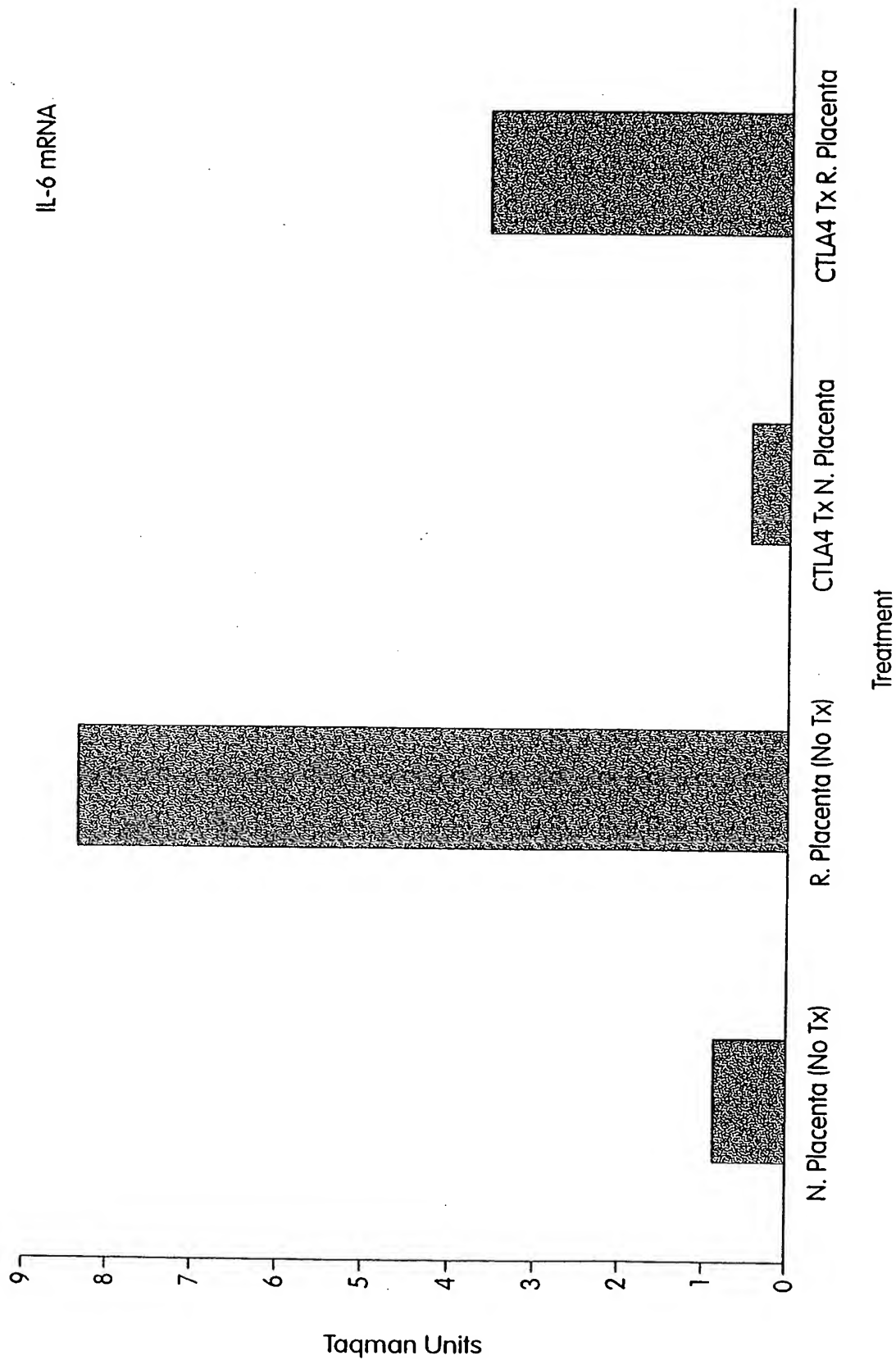


Fig. 6R



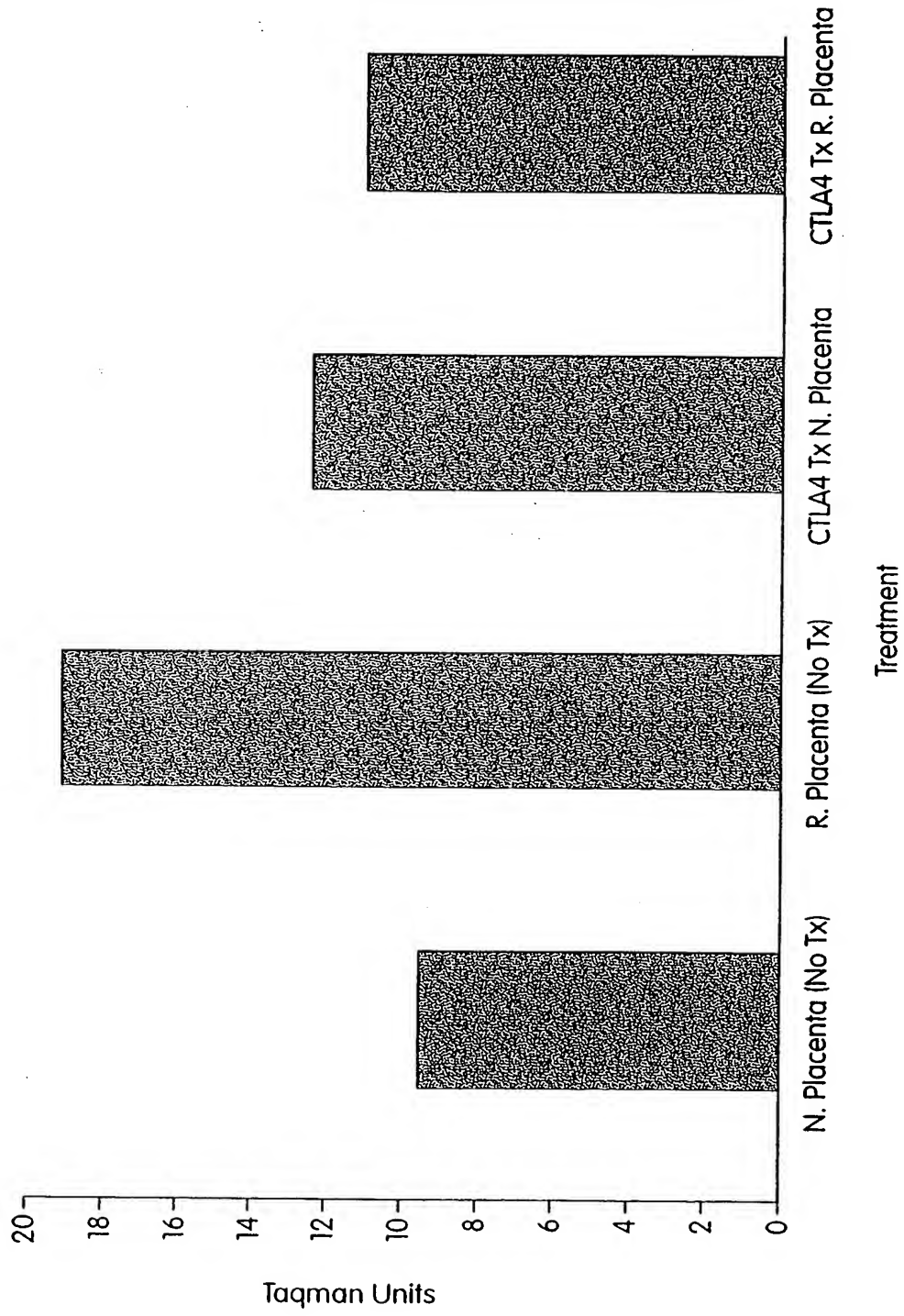


Fig. 6S

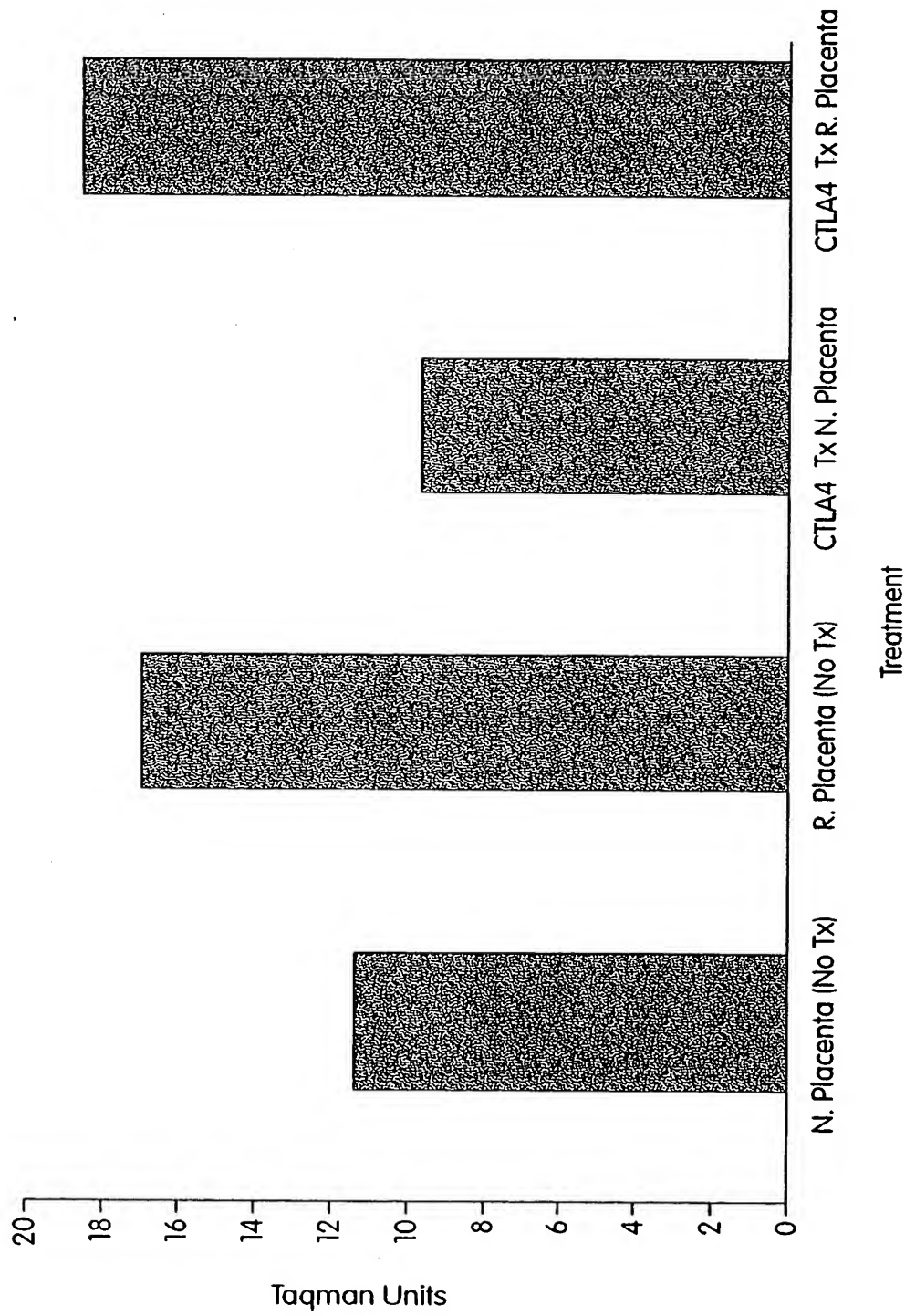


Fig. 6T

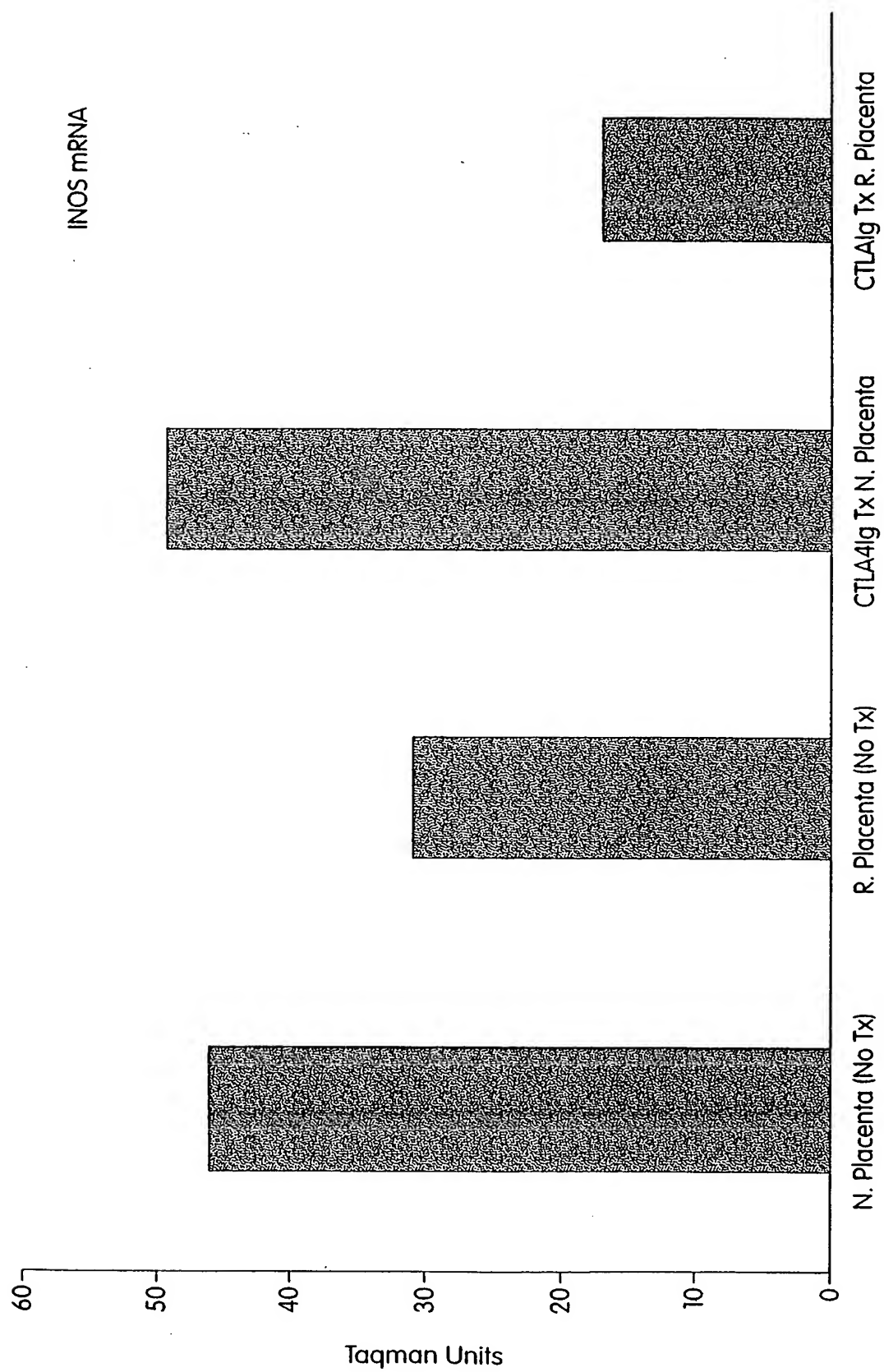


Fig. 6U

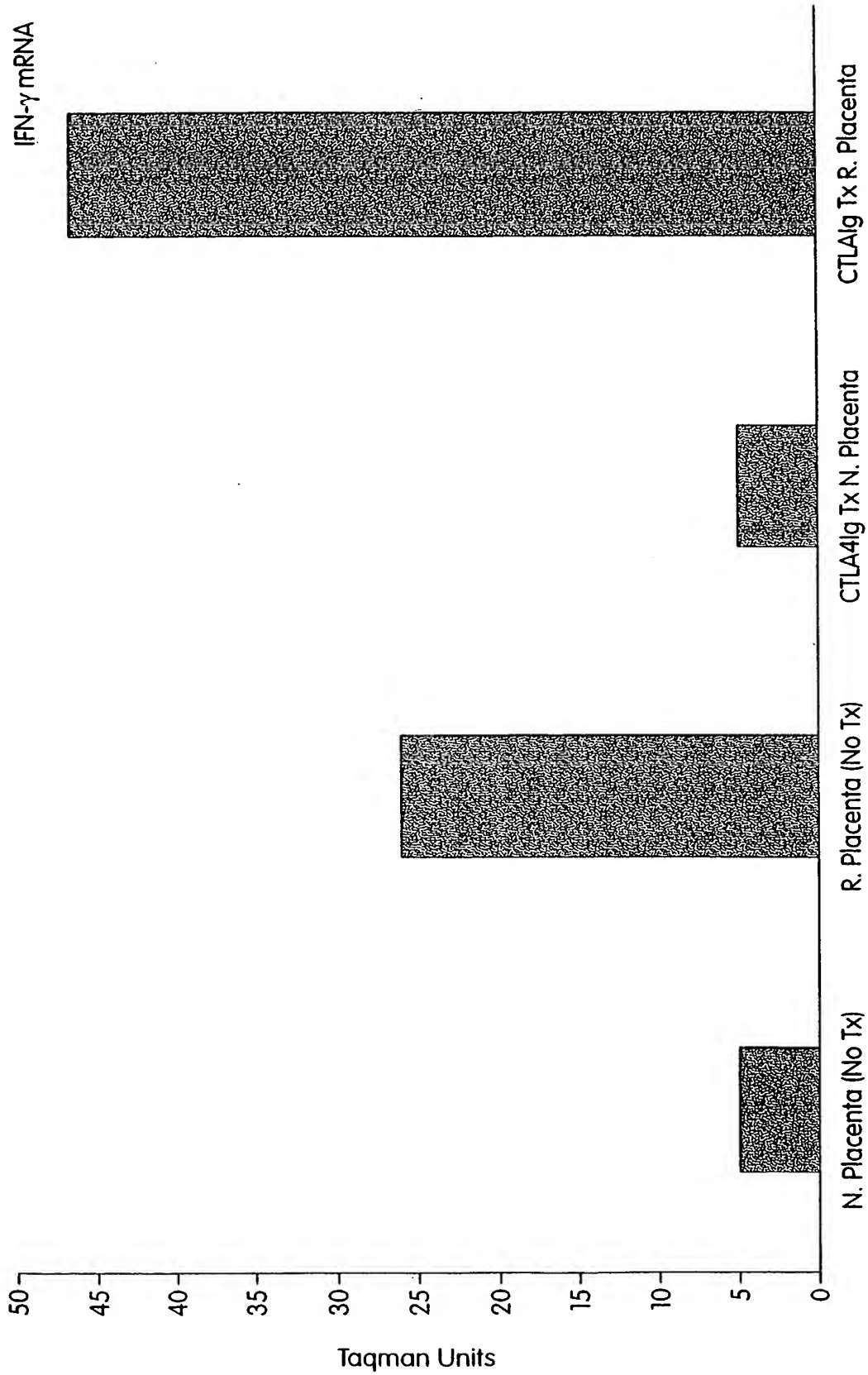


Fig. 6V